

СПИСОК ЛИТЕРАТУРЫ

- Kuzmin A. I., Shul'zenko B. S., Medvedev O. S., Kapelko V. I. Связь между распадом аденинуклеотидов, потерей катехоламинов при ишемии миокарда и восстановлением сократительной функции при реинфузии // Бюл. Всесоюз. кардиол. науч. центра.—1987.—№ 1.—С. 75—82.
- Arita M., Wada A., Takava H., Izumi F. Inhibition of ^{22}Na influx by tricyclic and tetracyclic antidepressants and binding of [^3H] imipramine in bovine adrenal medullary cells // J. Pharm. Exp. Ther.—1987.—50, N 4.—P. 342—348.
- Chern Y.-J., Herrera M., Kao H. S., Westhead E. W. Inhibition of catecholamine secretion from bovine chromaffin cells by adenine nucleotides and adenosine // J. Neurochem.—1987.—48, N 5.—P. 1573—1576.
- Dart A. M., Riemsma R. A. Neurally mediated and spontaneous release of norepinephrine in the ischemic and reperfused rat heart // J. Cardiovasc. Pharm.—1985.—7 (Suppl. 5).—P. S45—S49.
- Delle M., Thoren C. Changes in sympathetic nerve activity during morphine adstinence in the rat // Acta Physiol. Scand.—1987.—130, N 1.—P. 47—54.
- Eisenhofer G., Ropchak T. G., Stull R. W. et al. Dihydroxyphenylglycol and intraneuronal metabolism of endogenous and exogenous norepinephrine in the vas deferens // J. Pharm. Exp. Ther.—1987.—241, N 2.—P. 547—553.
- Ito K., Sato A., Shimamura K., Swenson R. S. Reflex changes in sympathoadrenal medullary functions in response to baroreceptor stimulation in anesthetized rats // J. Autonom. Nerv. Syst.—1984.—10, N 3/4.—P. 295—303.
- Kendrick K. M., Leng G. Hemorrhage-induced release of norepinephrine, 5-hydroxytryptamine and uric acid in the supraoptic nucleus of the rat, measured by microdialysis // Brain Research.—1988.—440, N 2.—P. 402—406.
- Livett B. G., Boksa P., Dean D. M. et al. Use of isolated chromaffin cells to study basic release mechanisms // J. Autonom. Nerv. Syst.—1983.—7, N 1.—P. 59—86.
- Ungerstedt U., Hallstrom A. In vivo microdialysis—a new approach to the analysis of neurotransmitters in the brain // Life Sci.—1987.—41, N 7.—P. 861—864.
- Wakade A. R., Mathotra R. K., Wakade T. D., Dixon W. R. Simultaneous secretion of catecholamines from the adrenal medulla and [^3H] norepinephrine from sympathetic nerves from a single test preparation/ different effects of agents on the secretion // Neuroscience.—1986.—18, N 4.—P. 877—888.
- Wakade A. R., Wakade T. D. Effects of desipramine, trifluoperazine and other inhibitors of calmodulin on the secretion of catecholamines from the adrenal medulla and postganglionic sympathetic nerves of the salivary gland // Naunyn-Schmiedeberg's Arch. Pharmacol.—1984.—325, N 4.—P. 320—377.
- Wallenstein S., Zucker K. L., Fleiss J. L. Some statistical methods useful in circulation research // Circ. Res.—1980.—47, N 1.—P. 1—9.
- Westerink B. H. C., Damsma G., Rollema H. et al. Scope and limitations of in vivo dialysis: a comparison of its application to various neurotransmitter systems // Life Sci.—1987.—41, N 15.—P. 1763—1776.
- Westerink B. H. C., Tuinte M. H. J. Chronic use of intracerebral dialysis for the in vivo measurement of 3,4-dihydroxyphenylethylamine and its metabolite 3,4-dihydroxyphenylacetic acid // J. Neurochem.—1986.—46, N 1.—P. 181—185.
- Yamada S., Morita K., Dohi T., Tsujimoto A. A modulating role of prostaglandins in catecholamine release by perfused dog adrenal glands // Eur. J. Pharmacol.—1988.—146, N 1.—P. 27—34.

Ин-т эксперим. кардиологии
ВКНЦ АМН СССР, Москва

Материал поступил
в редакцию 25.07.88

УДК 616.24—005.98+615.015.45

Е. В. Розова, М. Г. Дубовая

Влияние антигипоксанта ионола на морфофункциональное состояние аэрогематического барьера легких при гипоксической гипоксии

Известно, что при острогипоксическом воздействии наблюдаются существенные изменения морфологической структуры и функционального состояния аэрогематического барьера (АГБ) легких — первой «преграды» на пути проникновения кислорода из альвеол в кровь легочных капилляров [3, 7, 9]. Основной причиной отмечающихся нарушений принято считать увеличение проницаемости цитоплазматических

мембран, которое приводит из возможных способов действие физиологически действия, в частности антигипоксант

Цель нашей работы нальное состояние АГБ

Методика

Исследования выполнены на крысах 200—220 г. Острое воздействие подачи животных содержавшей 7 % O_2 в смеси: 1-я — интактные, 2-я — гипоксическому воздействию 3 сут трижды внутрь (120 мг/кг). Через 3 сут помещали в камеру, за

После декапитации участков нижних долей электронной микроскопии включающей фиксацию, воживание в спиртах эпон-812. Ультратонкие уранилацетатом и цитомикроскопе GEM-100 С фотографиях проводили метрической (τ) и средней (τ_m) [13]. В ряде случаев определяли обширность (мм) подобных структур и т. д.

Результаты и их обсуждение

Проведенные исследования показывают, что гипоксической гипоксии не удалось преодолеть барьера оставалась также почти в 2 раза большей

Изменение толщины (по результатам арифметической — τ и средней τ_m и отдельных его слоев при

Группа животных (число измерений)	Общая толщина АГБ, нм	
	τ	τ_m
1-я — интактные животные (39)	163±8	155±10
2-я — контрольные животные (31)	330±4 ^a	265±10
3-я — опытные животные (30)	314±25 ^a	269±10

1-я — интактные животные (39) 163±8 155±10
2-я — контрольные животные (31) 330±4^a 265±10
3-я — опытные животные (30) 314±25^a 269±10

^a Р<0,05 при сравнении значений между животных 2-й и 3-й групп;

мембран, которое приводит к развитию отека ткани легких [1, 2]. Один из возможных способов коррекции возникающих нарушений — применение физиологически активных веществ антигипоксического спектра действия, в частности мембранных, одним из которых является синтетический антигипоксант ионол [6].

Цель нашей работы — изучение влияния ионола на морфофункциональное состояние АГБ легких при острогипоксическом воздействии.

Методика

Исследования выполнены на белых лабораторных крысах-самцах массой 200—220 г. Острое гипоксическое воздействие моделировали с помощью подачи животным для дыхания в течение 30 мин газовой смеси, содержащей 7 % O_2 в азоте. Крысы были разделены на 3 группы: 1-я — интактные животные; 2-я — контрольные, подвергавшиеся гипоксическому воздействию; 3-я — опытные животные, которым в течение 3 сут трижды внутрибрюшинно вводили масляный раствор ионола (120 мг/кг). Через 30 мин после последнего введения ионола крыс помещали в камеру, заполненную газовой смесью.

После декапитации у животных иссекали кусочки идентичных участков нижних долей обоих легких. Приготовление материала для электронной микроскопии осуществляли по общепринятой методике [8], включающей фиксацию в глутаральдегиде и четырехокиси осмия, обезвоживание в спиртах возрастающей концентрации и заливку в эпон-812. Ультратонкие срезы толщиной 40—60 нм контрастировали уранилацетатом и цитратом свинца, просматривали в электронном микроскопе GEM-100 CX и фотографировали. На электронных микрофотографиях проводили морфометрическое определение средней арифметической (τ) и средней гармонической (τ_h) толщины АГБ легких [13]. В ряде случаев определяли число и линейные размеры внутриклеточных образований (микропиноцитозных везикул, пузырьков, вакуолеподобных структур и т. п.).

Результаты и их обсуждение

Проведенные исследования показали, что введение ионола при гипоксической гипоксии не нормализовало ни средней арифметической, ни средней гармонической толщины АГБ легких (таблица): толщина барьера оставалась такой же, как у животных контрольной группы, или почти в 2 раза большей, чем у интактных животных. При этом следует

Изменение толщины (по результатам морфометрического определения ее средней арифметической — τ и средней гармонической — τ_h) аэрогематического барьера (АГБ) и отдельных его слоев при гипоксической гипоксии под влиянием ионола ($M \pm m$)

Группа животных (число измерений)	Общая толщина АГБ, нм		Толщина эпителиального слоя, нм		Толщина интерстициального слоя, нм		Толщина эндотелиального слоя, нм	
	τ	τ_h	τ	τ_h	τ	τ_h	τ	τ_h

1-я — интактные животные (39)	163 \pm 8	155 \pm 9	71 \pm 5	65 \pm 7	49 \pm 3	46 \pm 3	63 \pm 7	50 \pm 8
2-я — контрольные животные (31)	330 \pm 4 ^a	265 \pm 28 ^a	88 \pm 6 ^a	83 \pm 9 ^a	61 \pm 6 ^a	57 \pm 9	132 \pm 10 ^a	104 \pm 10 ^a
3-я — опытные животные (30)	314 \pm 25 ^a	269 \pm 29 ^a	110 \pm 17 ^a	88 \pm 12 ^a	76 \pm 4 ^{a,b}	73 \pm 4 ^{a,b}	80 \pm 7 ^{a,b}	67 \pm 11 ^b

^a Р < 0,05 при сравнении значений показателей у животных 1-й группы с таковыми у животных 2-й и 3-й групп; ^b Р < 0,05 между 2-й и 3-й группами.

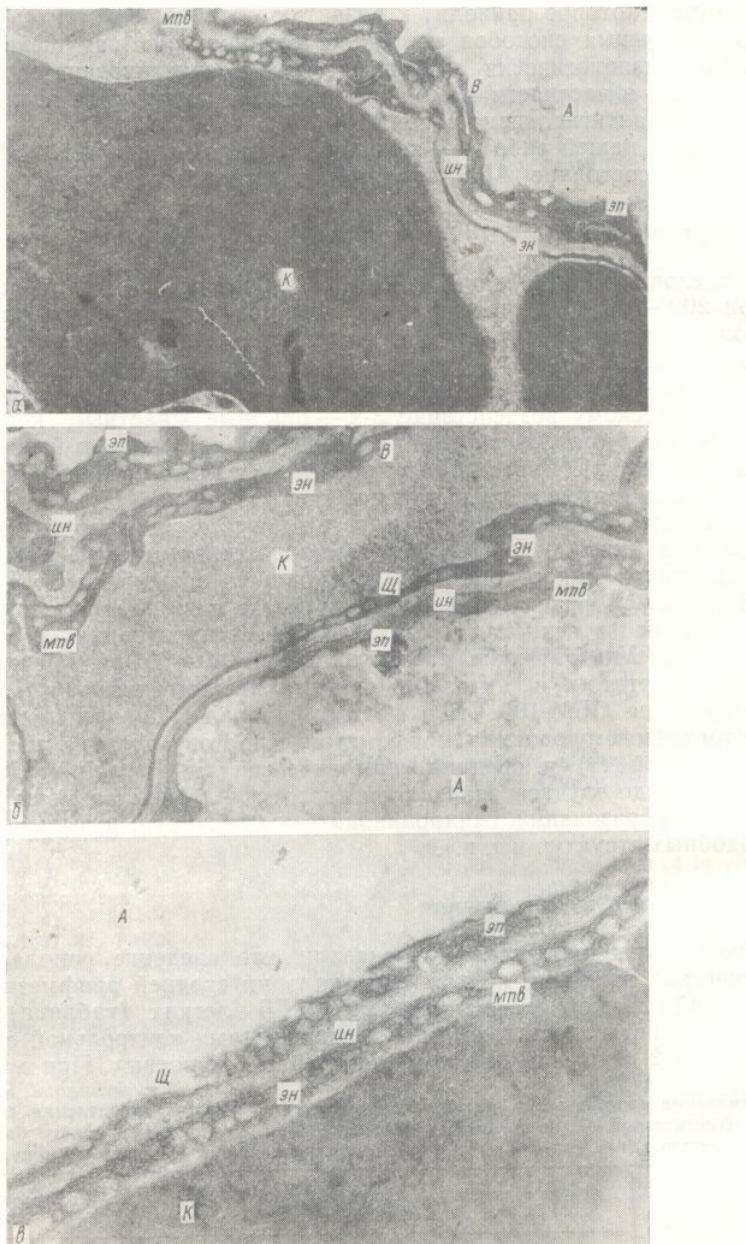


Рис. 1. Ультраструктура аэрогематического барьера легких при гипоксической гипоксии с применением ионола.

А — альвеола, К — капилляр, ЭП — эпителиальный слой, ИН — интерстициальный слой, ЭН — эндотелиальный слой, В — вакуолеподобное образование, МПВ — микропиноцитозные везикулы, Щ — «щель» в области межклеточного контакта. Ув. на а, б — 35 000 на в — 60 000.

отметить, что в условиях гипоксии основная доля утолщения барьера приходилась на эндотелиальный слой, что вполне объяснимо с точки зрения наибольшей уязвимости эндотелиальных клеток [2, 11]. С применением ионола более существенно увеличивалась толщина интерстициального слоя: от (49 ± 3) нм у интактных животных до (61 ± 6) нм при гипоксии и до (76 ± 4) нм после введения ионола (для примера приведены значения τ ; аналогичная динамика прослеживалась и для τ_h). Наряду с этим толщина эндотелиального слоя достоверно уменьшалась: от (132 ± 10) до (80 ± 7) нм (при значении τ у интактных жи-

вотных, составляющем при этом у опытных контролльной группы.

Отмеченное пересматривать как положения, имеющиеся в литературе для терциональный способ этом ее содержание более явления, что является компонентом оводненности другое реализация указан эндотелиальных клеток — биологически акт действия — приводит к образованию АГБ, а также барьер способствует интегрированию последнем. Можно мембранные ионол оказывать в составе барьера членом и реальность чего и реальности жидкости [4].

Действие ионола на ультраранней нормализации исследований показано, физиологическое состояние оводненности в виде пилляров, тотального изменения неизмененных участков ионола практически значительно уменьшают отек. При термическом слиянии межклеточных контактов изменились изменения, характеризующие АГБ на внешнее воздействие нормализации, при этом, как указывают нормализации общей подтверждающая данную функционального состояния, гипертермии, с механизмы, ответственные за изменение жидкости, и заульную разную природу.

Особо следует отметить легких. Известно, что правило, происходит [2, 3], что приводит к исчезновению пустеванию, исчезновение приводит к резкому увеличению выходом в просвет альвеолы. Миelinоподобных фрагментов слоя зрелого С в гипоксических условиях, вероятно, способствует АГБ.

вотных, составляющем $63 \text{ нм} \pm 7 \text{ нм}$). Толщина эпителиального слоя при этом у опытных животных оставалась такой же, как и у крыс контрольной группы.

Отмеченное перераспределение толщины следует, видимо, рассматривать как положительный факт, если принять во внимание имеющиеся в литературе данные о том, что среди слоев АГБ именно интерстициальный способен аккумулировать жидкость, увеличивая при этом ее содержание более чем в 20 раз [10, 12]. Поступающая в этот слой жидкость в последующем удаляется через лимфатическую систему, что является компенсаторной реакцией, способствующей уменьшению оводненности других элементов, составляющих АГБ. В этом случае реализация указанного механизма приводит к снижению отечности эндотелиальных клеток. Можно предположить, что применение ионола — биологически активного вещества преимущественно мембранных действий — приводит к такому изменению цитоплазматических мембран АГБ, а также базальных мембран интерстициального слоя, которое способствует интенсификации поступления и накопления жидкости в последнем. Можно также предположить, что помимо действия на мембранны ионол оказывает влияние на конформацию макромолекул, входящих в состав базальных мембран интерстициального слоя, в результате чего и реализуется способность последнего к аккумуляции жидкости [4].

Действие ионола на АГБ легких при гипоксии проявляется в значительной нормализации ультраструктуры барьера. В предыдущих исследованиях показано, что при указанной гипоксической гипоксии морфологическое состояние АГБ характеризуется развитием существенной оводненности в виде локального отека клеток эндотелия легочных капилляров, тотального отека клеток альвеолярного эпителия и т. п. Причем неизмененных участков барьера оказывалось мало. Применение ионола практически полностью устранило отек эпителиальных клеток, значительно уменьшило число пузырей, характеризующих подэндотелиальный отек. При этом сохранялись усиленный пиноцитоз с характерным слиянием микропиноцитозных везикул в вакуолеподобные образования, расхождения цитоплазматических отростков в местах межклеточных контактов (рис. 1), т. е. в большинстве случаев наблюдались изменения, характеризующие компенсаторную реакцию клеток АГБ на внешнее воздействие [5]. В связи с отмеченным фактом частичной нормализации ультраструктуры АГБ интересно подчеркнуть, что при этом, как указывалось выше, не происходит хотя бы частичной нормализации общей толщины барьера. Выявленная закономерность, подтверждающая данные, полученные нами ранее при изучении морфофункционального состояния АГБ легких при гипоксии различного генеза, гипертермии, стрессе, позволяет высказать предположение, что механизмы, ответственные за увеличение оводненности легочной ткани, т. е. за изменение проницаемости цитоплазматических мембран для жидкости, и за ультраструктурные изменения в АГБ имеют, видимо, разную природу.

Особо следует отметить влияние ионола на сурфактантную систему легких. Известно, что при выраженной гипоксической гипоксии, как правило, происходит угнетение синтеза и секреции сурфактантов (СФ) [2, 3], что приводит к уменьшению числа ламеллярных телец, их запустеванию, исчезновению СФ из просвета альвеол. Применение ионола приводит к резкому усилению синтеза и секреции СФ, что выражается увеличением числа осмиофильных телец в пневмоцитах II типа, выходом в просвет альвеол большого количества резервного СФ в виде миelinоподобных фигур, образованием на поверхности альвеол сплошного слоя зрелого СФ (рис. 2). Следовательно, под действием ионола в гипоксических условиях происходит активация СФ системы легких, что, вероятно, способствует улучшению функционального состояния АГБ.

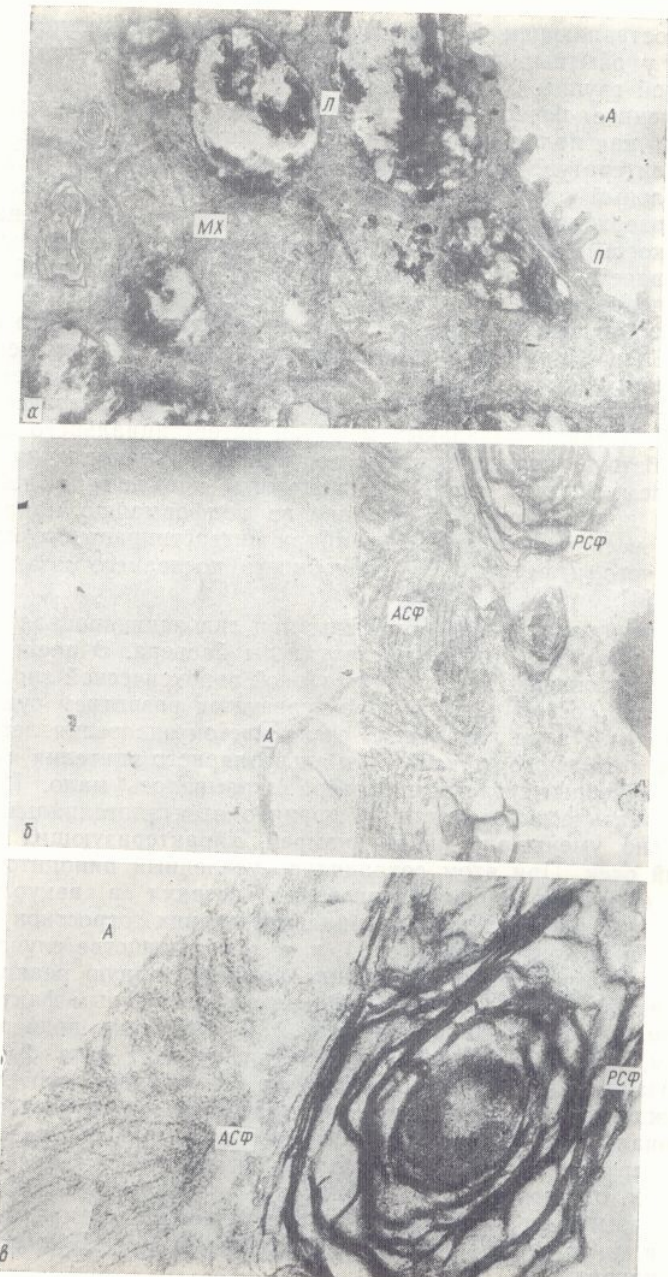


Рис. 2. Ультраструктура легочного сурфактанта при гипоксической гипоксии с применением ионола.
A — альвеола, L — пневмоцит II типа, L — ламеллярные тельца, MX — митохондрии, РСФ — резервный сурфактант, АСФ — активный сурфактант. Ув. на а, б — 35 000, на в — 70 000.

На основании полученных результатов следует также заключить, что ионол способствует увеличению наработки фосфолипидов — основного компонента СФ. По-видимому, именно этим можно объяснить также и мембранные действия ионола, способствующее значительной нормализации морфологической структуры АГБ.

E. V. Rozova, M. G. Dubov

THE ANTIHYPOXANTIC STATE OF AIR-BLOOD LI

It is shown that antihypoxic agent ultrastructure, activation as well as compensatory and intensified synthesis of phospholipids and pulmonary surfactant

A. A. Bogomoletz Institute of Sciences of the Ukrainian SSR

СПИСОК ЛИТЕРАТУРЫ

1. Антрощенко Е. С. Принципы по данным радиосцинтиграфии // Дыхание. 1986. № 2.
2. Бойков А. К. Электронная микроскопия легочной альвеолы. Ч. 2. — С. 71—88.
3. Коваленко Т. Н. Состав и свойства газообменных газов. — Бюл. науч.-техн. инф. — Киев, 1984.
4. Поликар А., Колле А. Альвеолы и альвеолярные ткани. — Новосибирск : Изд-во Сиб. Университета, 1984.
5. Розова Е. В. Компенсация гематического барьера легких при гипоксии: фундаментальные и клинические аспекты. — Киев, 1984. С. 227—228.
6. Сальников М. И. Европейские исследования по проблеме капилляров у бывших курящих. — Черноголовка : Бюл. науч.-техн. инф. — 1984. № 1.
7. Шахламов В. А. Капиллы легких. — Баку, 1984.
8. Уикли Б. Электронная микроскопия легких. — Баку, 1984.
9. Drinker C. K. The clinical features of pulmonary hypertension. — New York, 1960. 84 p.
10. Havill A. M., Gee M. H. The effect of hypoxia on normal and injured lungs // J. Physiol. — 1957, N 145. — P. 1—6.
11. Sabin S. S., Tremer H. M. Hypoxia and the development of pulmonary hypertension. — J. Physiol. — 1955, N 145. — P. 1—6.
12. Unrush H. W., Goldberg D. J. The effect of hypoxia on the resistance of the air-blood barrier // J. Cell. Physiol. — 1960, N 45. — P. 1—6.
13. Weibel E. R., Knight B. J. The structure of the air-blood barrier // J. Cell. Physiol. — 1960, N 45. — P. 1—6.

Институт физиологии им. А. А. Богомолец
АН УССР, Киев

УДК 612.17+517.15/17

А. Г. Козлов, И. Ф. Радченко

Изменение кинетики сердечной мышцы при гипоксии

Развитие адренергического аденилатциклизного цептора (бета-АР), ГТФ-направленного аденилатциклизы [1] этого процесса состояло в том, что катехоламины [2] способствуют активации фосфолипаз [9], а

Физиол. журн., 1990, т. 36 № 1

THE ANTIHYPOXANT IONOL INFLUENCE ON THE MORPHOFUNCTIONAL STATE OF AIR-BLOOD LUNG BARRIER IN HYPOXIC HYPOXIA

It is shown that antihypoxant ionol has promoted normalization of the air-blood lung barrier ultrastructure, activation of the surfactant system under acute hypoxic hypoxia effect as well as compensatory redistribution of the thickness of separate barrier layers due to intensified synthesis of phospholipids which are the components of cytoplasmic membranes and pulmonary surfactant.

A. A. Bogomoletz Institute of Physiology, Academy of Sciences of the Ukrainian SSR, Kiev

СПИСОК ЛИТЕРАТУРЫ

1. Антрошченко Е. С. Проницаемость капилляров при сердечно-сосудистых заболеваниях по данным радионидикации // Клинич. мед.— 1984.— 62, № 3.— С. 68—70.
2. Бойков А. К. Электронная микроскопия некоторых деструктивных изменений клеток легочной альвеолы // Легкое в патологии.— Новосибирск: Наука, 1975.— Ч. 2.— С. 71—88.
3. Коваленко Т. Н. Состояние аэрогематического барьера легких в условиях нормальной и измененной газовой среды у крыс разного возраста: Автореф. дис. ... канд. биол. наук.— Киев, 1984.— 26 с.
4. Поликар А., Колле А. Физиология нормальной и патологической соединительной ткани.— Новосибирск: Наука, 1966.— 269 с.
5. Розова Е. В. Компенсаторные и патологические изменения ultraструктуры аэрогематического барьера легких при гипоксии различного генеза // Реактивность и резистентность: фундаментальные и практические вопросы.— Киев: Б. и., 1987.— С. 227—228.
6. Сальников М. И., Евсеева Б. А. Влияние антиоксиданта дибунона на проницаемость капилляров у больных ишемической болезнью сердца // Биоантисиданты.— Черноголовка: Б. и., 1986.— Т. 2.— С. 67—68.
7. Шахламов В. А. Капилляры.— М.: Медицина, 1971.— 200 с.
8. Уики Б. Электронная микроскопия для начинающих. М.: Мир, 1975.— 324 с.
9. Drinker C. K. The clinical physiology of the lung.— Springfield: Ch. Thomas, 1954.— 84 p.
10. Havill A. M., Gee M. H. Role of interstitium in clearance of alveolar fluid in normal and injured lungs // J. Appl. Physiol.: Respir. Environ. and Exercise Physiol.— 1984.— 57, N 1.— P. 1—6.
11. Sabin S. S., Tremer H. M., Hardy S. D. et al. Changes in arteriole in acute and chronic pulmonary hypertension and recovery in rat // Ibid.— 1983.— 55, N 5.— P. 1445—1455.
12. Unrush H. W., Goldberg H. S., Oppenheimer L. Pulmonary interstitial compartments and tissue resistance to fluid flux // Ibid.— 1984.— 57, N 5.— P. 1512—1519.
13. Weibel E. R., Knight B. W. A morphometric study on the thickness of the pulmonary air blood barrier // J. Cell Biol.— 1964.— 21, N 3.— P. 367—384.

Ин-т физиологии им. А. А. Богомольца
АН УССР, Киев

Материал поступил
в редакцию 23.01.89

УДК 612.17+517.15/17

А. Г. Козлов, Н. Ф. Радченко, С. Н. Марченко

Изменение кинетических свойств адренорецепторов сердечной мышцы при действии катехоламинов

Развитие адренергической реакции связано с активацией мембранныго аденилатциклазного комплекса, включающего в себя бета-адренорецептор (бета-АР), ГТФ-сопрягающий белок, каталитическую субъединицу аденилатциклазы [1, 2, 4, 6]. Учитывая принципиальное значение для данного процесса состояния липидных компонентов мембраны, а также то, что катехоламины (КА) сами могут влиять на них, изменяя активность фосфолипаз [9], метилтрансфераз [5], организацию элементов